

تصفیه فاضلاب پالایشگاه نفت با استفاده از نانو فتوکاتالیست جدید Fe-ZSM-5@TiO₂/Ag***پژوهشی**محمد دلنواز^(۱) کیارش اسحقی^(۲)

چکیده فاضلاب نفتی حاوی طیف وسیعی از آلاینده‌های سخت تجزیه‌پذیر است که با روش‌های متداول تصفیه نمی‌شود. در این مطالعه حذف فتوکاتالیستی آلاینده‌های آلی موجود در فاضلاب واقعی پالایشگاه نفت با استفاده از نانو فتوکاتالیست سنتزی Fe-ZSM-5@TiO₂/Ag مورد بررسی قرار گرفته است. برای سنتز نانو فتوکاتالیست ابتدا آهن به منظور ارتقای ساختار زئولیت بر روی ZSM-5 تثبیت شد و سپس تیتانیوم و نقره به منظور کاهش شکاف انرژی بر روی آن پوشش یافت و مشخصات فیزیکی و شیمیایی آن توسط آنالیزهای XRD، SEM، FT-IR و BET تعیین شد. رویه انجام آزمایش‌های تصفیه فاضلاب پالایشگاه نفت با استفاده از طراحی آزمایش به روش پاسخ سطح (RSM) انجام شد. برای بررسی پارامترهای تأثیرگذار، اثر غلظت آلاینده، غلظت نانوذرات فتوکاتالیست، pH زمان واکنش، طول موج تابش و فتوکاتالیست‌های مختلف در یک پایلوت ناپیوسته انجام شد. نتایج نشان داد که در pH برابر با ۵ و غلظت فتوکاتالیست Fe-ZSM-5@TiO₂/Ag برابر با ۲ گرم بر لیتر و تحت تابش نور UV-A به شدت ۵۴ وات و زمان ۲۴۰ دقیقه بهترین عملکرد حذف COD در حدود ۸۳ درصد به دست می‌آید.

واژه‌های کلیدی نانو فتوکاتالیست، زئولیت، لامپ UV، فاضلاب نفتی.

Treatment of Petroleum Wastewater Using new Fe-ZSM-5@TiO₂/Ag Nano Photocatalyst

M. Delnavaz

K. Eshaghi

Abstract Petroleum wastewater contains a wide range of hard biodegradable pollutants that are not treated by conventional treatment methods. In this study, the photocatalytic degradation of organic pollutants in the wastewater of Petroleum were investigated using new Fe-ZSM-5@TiO₂/Ag synthetic nano-photocatalyst. Synthesis of nano photocatalyst was done by immobilizing iron on zeolite to improve ZSM-5 structure and then TiO₂ and Ag coated to reduce the band gap energy. Physical and chemical properties of the materials determined by XRD, SEM, FT-IR and BET analyzes. TiO₂ in the anatase phase was shown in synthetic nano-photocatalyst using XRD analysis. The uniformity of the nanoparticles was also revealed in the SEM images, which showed that the TiO₂ and Ag particles were well located on the surface of Fe-ZSM-5. Experimental procedure was done using experimental method by response surface method (RSM). The effects of main parameters containing pollutant concentration, photocatalyst nanoparticle concentration, pH, reaction time, radiation wavelength and different photocatalysts were performed in a batch pilot. The results showed that at pH=5 and the photocatalyst concentration of Fe-ZSM-5@TiO₂/Ag equal to 2 g/L under UV-A irradiation at 54 watts and 240 min time the best COD removal performance was about 83%.

Key Word Nano-photocatalyst, Zeolite, UV lamp, Petroleum wastewater.

* تاریخ دریافت مقاله ۱۳۹۹/۱۰/۲۹ و تاریخ پذیرش آن ۱۴۰۰/۷/۱۷ و از صفحه ۷۱ تا ۸۶ می‌باشد.

(۱) نویسنده مسئول، دانشیار دانشکده فنی و مهندسی، گروه مهندسی عمران، دانشگاه خوارزمی، تهران E-mail: delnavaz@khu.ac.ir

(۲) دانشجوی کارشناسی ارشد مهندسی محیط زیست، دانشکده فنی و مهندسی، گروه مهندسی عمران، دانشگاه خوارزمی، تهران

مقدمه

فاضلاب پالایشگاه نفت شامل پساب تولیدشده از صنایع مرتبط با تولید سوخت‌های فسیلی، ترکیبات پتروشیمی و ترکیبات تجاری هیدروکربنی، روغن، گریس و تولید نفت خام می‌باشد [1]. این فاضلاب به دلیل دارا بودن گستره وسیعی از آلاینده‌های آلی با غلظت‌های متفاوت، از جمله منابع اصلی آلودگی آب‌ها می‌باشد. وجود مواد سمی و ترکیبات آروماتیک چندحلقه‌ای و آلیفاتیک به دلیل ماهیت بسیار پایدار این ترکیبات برای زمان طولانی در محیط آبی باقی می‌ماند و مخاطرات زیست‌محیطی فراوانی به وجود می‌آورد [2]. در ایران اکثر پالایشگاه‌ها در حاشیه کلان‌شهرها و حتی در برخی از مواقع در داخل شهرها بنا شده‌اند که این شرایط می‌تواند به دلیل تأثیر سریع و عمیق‌تر بر انسان چالش‌انگیز شود. در تصفیه فاضلاب پالایشگاه‌های نفت به دنبال فرایندهای بیولوژیکی از فرایندهای متفاوت فیزیکی، شیمیایی و مکانیکی استفاده می‌شود. با توجه به وجود انواع هیدروکربن‌های نفتی با غلظت‌های متفاوت در این نوع فاضلاب‌ها، به راحتی نمی‌توان با روش‌های متداول، فرایند تصفیه را انجام داد [3]. برای تصفیه آلاینده‌های نفتی می‌توان به روش‌هایی هم‌چون فوتوفتون، فنتون، انعقاد و لخته‌سازی [4]، تصفیه الکتروشیمیایی، اکسیداسیون شیمیایی، تصفیه بیولوژیکی، اسمز معکوس، فیلتراسیون و فرایند غشایی [5]، تعویض یونی و هم‌چنین فرایندهای چندمرحله‌ای شامل ازن‌زنی تحت نور UV اشاره کرد [6].

در دهه اخیر فرایند اکسیداسیون پیشرفته از اهمیت بسیاری در تصفیه فاضلاب‌های صنعتی برخوردار شده است [7]. روش تصفیه اکسیداسیون پیشرفته مبتنی بر روش‌های مختلفی در تولید رادیکال بسیار فعال هیدروکسیل (OH^\cdot) می‌باشد که قادر است با سرعتی مناسب طیف گسترده‌ای از آلاینده‌های آلی را اکسید و به مواد معدنی مانند دی‌اکسید کربن، آب و اسیدهای معدنی تجزیه نماید [8]. برای تصفیه به روش فتوکاتالیستی ابتدا نیاز به فتوکاتالیست‌های نیمه‌سانایی است که از لحاظ ساختاری به صورت نوری باشند [9]. سطوح انرژی را که مربوط به پیوند کوالانسی میان اتم‌ها

است نوار ظرفیت و سطح انرژی را که بالاتر قرار گرفته است نوار رسانش می‌نامند. حدفاصل بین این دو نوار را شکاف نوری و یا شکاف انرژی می‌نامند که تعیین‌کننده حساسیت فتوکاتالیست به طول موج تابش در نیمه‌رسانا است. اگر تابش انرژی برابر و یا بیشتر از شکاف نوری در نیمه‌رسانا به آن تابانده شود، باعث تهییج در نیمه‌رسانا خواهد شد که همین امر باعث ارتقای الکترون از نوار ظرفیت به نوار رسانش می‌شود و باعث ایجاد حفره در نوار ظرفیت می‌گردد و از این طریق جفت الکترون-حفره در نیمه‌رسانا شکل می‌گیرد [10]. در تصفیه فتوکاتالیستی استفاده از کاتالیزورهای نیمه‌رسانا، از جمله TiO_2 بسیار مرسوم است که تحت تابش نوری با طول موج در حدود ۳۰۰ تا ۳۹۰ نانومتر بیشترین عملکرد خود را داراست. این فتوکاتالیست پس از انجام فعالیت کاتالیزوری که منجر به تخریب آلاینده‌ها می‌شود در محیط باقی می‌ماند [11]. TiO_2 به دلیل خواص ویژه‌ای از جمله ارزانی قیمت، خواص فتوکاتالیستی، غیرسمی بودن، پایداری بسیار بالا و تسریع در انجام واکنش‌های فتوشیمیایی همانند تولید هیدروژن، بیش از هر ماده دیگری در کاتالیست‌های نوری استفاده می‌شود. در دی‌اکسید تیتانیم فاصله تراز انرژی در حدود $3/2$ الکترون ولت است که با طول موج‌هایی کمتر از ۳۸۰ نانومتر برانگیخته می‌شود [12]. یکی از مهم‌ترین محدودیت‌ها برای عملکرد فتوکاتالیست TiO_2 مساحت سطحی کم و جذب آن می‌باشد که ضرورت تثبیت این ماده بر یک بستر را آشکار می‌سازد [13]. در میان انواع پایه‌های مختلفی که برای تثبیت دی‌اکسید تیتانیم بررسی شده‌است، زئولیت‌ها به دلیل ساختار متخلخل، کانال‌های منظم و یکنواخت، ظرفیت جذب بسیار بالا، اندازه حفرات، ساختار مقاوم به تخریب‌های نوری (پایداری فتوشیمیایی)، ظرفیت حرارتی بالا و ساختار سازگار با محیط‌زیست بسیار کارآمد هستند [14,15]. بسیاری از مولکول‌های قابل تخریب و یون‌ها در کانال‌های زئولیت‌ها منتشر می‌شوند و این امر باعث افزایش حذف آلاینده‌ها در فرایند فتوکاتالیستی می‌گردد [16]. زئولیت ZSM-5 با وجود

فتوکاتالیست را به عنوان مرحله سوم برای اکسید کردن و معدنی سازی آلاینده های مقاومی هم چون فنل برای پالایشگاه نفت با ظرفیت پالایش ۴۱۰۰۰ مترمکعب در روز که باعث تولید ۱۱۰۰ مترمکعب در ساعت فاضلاب می شود، مورد بررسی قرار دادند. در این تحقیق از دو نوع فتوکاتالیست شامل TiO_2 ، ZnO استفاده شده بود. نتایج نشان داده است که در شرایط بهینه، دی اکسید تیتانیم عملکرد بهتری نسبت به اکسید روی دارد و مقدار بهینه آن ۳ گرم بر لیتر و pH برابر با ۶/۳ می باشد که حذف ۹۳٪ فنل ها، ۶۳٪ کربن های آلی محلول و بیش از ۵۰٪ روغن و گریس در فرایند فتوکاتالیستی را رقم می زند [23]. Chang و همکاران تجزیه فتوکاتالیستی استامینوفن در آب را با استفاده از مواد TiO_2 بر پایه زئولیت ZSM-5 که با استفاده از روش سل-ژل ساخته شده بود بررسی کردند. بهترین غلظت TiO_2 بر ZSM-5 بیش از ۴۰ درصد جرمی و غلظت اولیه استامینوفن در حدود ۱۵ میلی گرم بر لیتر بود. نتایج نشان داد که پس از ۱۸۰ دقیقه میزان تجزیه می تواند به ۹۶٪ برسد. علاوه بر این، مواد کاتالیست بعد از چهار بار احیا و استفاده مجدد موفق به معدنی سازی در سطح بالایی در حدود ۹۰٪ بودند [24]. Zainudin و همکاران در سال ۲۰۱۵ مطالعاتی روی تخریب فتوکاتالیستی فنل با استفاده از نانوذرات TiO_2 انجام دادند. در تحقیق ایشان از ZSM-5 و سیلیکا ژل به عنوان پایه در یک راکتور استفاده شد. نتایج نشان داد که کاهش ۹۰ درصدی غلظت محلول فنل با غلظت ۵۰ میلی گرم بر لیتر فتوکاتالیست در ۱۸۰ دقیقه حاصل می شود [25]. اثر نقره ۱/۵ درصد اتمی دوپ شده با TiO_2 برای حذف رنگ توسط Sobana و همکاران در سال ۲۰۱۵ بررسی شد. در این مطالعه با استفاده از لامپ فرابنفش UV با توان ۸ وات با طول موج ۳۶۵ نانومتر در مدت تابش یک ساعت، غلظت بهینه کاتالیست ۳ گرم بر لیتر، غلظت رنگ 1×10^{-5} مول بر لیتر و pH بهینه آزمایش برابر با ۶، میزان حذف رنگ به میزان ۹۰ درصد به دست آمد [26]. Pan و همکاران نیز در سال ۲۰۲۱ حذف

نانوحفرات منظم، ظرفیت تعویض یونی بسیار بالا، مساحت سطحی زیاد و وجود مقدار قابل توجهی از سیلیکا در ساختار خود باعث به وجود آوردن سطحی آب گریز می شود که همین ویژگی ها می تواند آن را به یکی از پرکاربردترین پایه کاتالیست ها و جاذب ها تبدیل نماید [17]. برای به دست آوردن ساختار بهتری در زئولیت ZSM-5 از لحاظ کاتالیستی برای اکسیداسیون آلاینده های آلی تحت تابش UV می توان از زئولیت Fe-ZSM-5 استفاده کرد که ساختاری مشابه با ZSM-5 دارد [18]. از دیگر مشکلات استفاده از دی اکسید تیتانیم به عنوان کاتالیست، بازده عملکردی پایین کوانتوم نوری آن است که از باز ترکیب الکترون-حفره ناشی می شود. دی اکسید تیتانیم به دلیل شکاف باندی انرژی زیاد آن در برابر نور مرئی غیر فعال می ماند، به همین دلیل استفاده از آن در مقابل نور خورشید کارایی بالایی ندارد، ولی دی اکسید تیتانیم در مقابل طیف های نوری UV عملکردی بسیار مناسب دارد، ولیکن هزینه بالایی برای انرژی فعال سازی لازم دارد که این خود یکی از چالش های موجود در صنعت است [19].

برای عملکرد بهتر فرایند فتوکاتالیستی در برابر نور خورشید توسط الکترون های به دام افتاده دی اکسید تیتانیم و کمک به انتقال بار سطحی، رسوب فلزات سنتز شده بر روی دی اکسید تیتانیم بسیار مؤثر می باشد [20]. یک روش بسیار متداول برای حساس سازی بیشتر دی اکسید تیتانیم به نور مرئی از طیف نور خورشید، دوپ کردن یون های دیگر با دی اکسید تیتانیم می باشد [21]. دوپ کردن یک سطح القایی را در شکاف انرژی نیمه رسانا تولید می کند که این لایه اگر در نزدیکی لبه باندی باشد، می تواند با باند هم پوشانی داشته باشد و باعث شکاف باندی شود [22]. اصلی ترین هدف در دوپ کردن، کاهش فضای خالی با ایجاد یک حالت شکاف درون باندی است، که باعث جذب نور بیشتر خواهد شد.

استفاده از فرایند فتوکاتالیست برای تصفیه فاضلاب های صنایع نفتی مورد توجه محققان قرار گرفته است. Santos و همکاران در سال ۲۰۰۶ فرایند

کلیه آنالیزها منطبق بر روش‌های استاندارد آب و فاضلاب انجام پذیرفت که نتایج آن در جدول (۱) ارائه شده است.

جدول ۱ ویژگی فاضلاب استفاده شده در تحقیق

پارامتر	مقدار
pH	۷
COD	$4150 \frac{\text{mg}}{\text{l}}$
TBOD	$3725 \frac{\text{mg}}{\text{l}}$
TS	$2216 \frac{\text{mg}}{\text{l}}$
TDS	$2101 \frac{\text{mg}}{\text{l}}$
TSS	$115 \frac{\text{mg}}{\text{l}}$
FSS	$87 \frac{\text{mg}}{\text{l}}$
VSS	$28 \frac{\text{mg}}{\text{l}}$
چگالی	$0.832 \frac{\text{gr}}{\text{cm}^3}$
کدورت	۱۱۰ NTU
هدایت الکتریکی	$132000 \frac{\mu\text{s}}{\text{cm}}$

فتوراکتور مورد استفاده در این تحقیق به صورت مکعب مستطیل با ارتفاع ۳۰، طول ۷۰ و عرض ۲۰ سانتی-متر بود که اطراف آن به منظور بازتاب هرچه بهتر لامپ UV با ورق آلومینیومی پوشیده شده بود. در داخل این راکتور به منظور بالا بردن دقت آزمایش و بهبود عملکرد هوادهی از چهار ظرف مکعبی شکل از جنس شیشه رفلکس آبی به ارتفاع ۱۰، طول ۲۰ و عرض ۱۰ سانتی-متر استفاده شد که تصویر شماتیک آن در شکل (۱) ارائه شده است. به منظور تأمین اکسیژن مورد نیاز برای فرآیند فتوکاتالیستی و هم‌چنین معلق نگه داشتن فتوکاتالیست در راکتور، از هواده مولد حباب‌های ریز از کف همراه با کنترل‌کننده شدت هوادهی به مقدار ثابت $2 \frac{1}{\text{min}}$ استفاده شد. برای انجام فرآیند فتوکاتالیستی از لامپ UV-A

فاضلاب واقعی حاوی سیانید را با استفاده از فرآیند فتوکاتالیستی و استفاده از نانو کامپوزیت $\text{TiO}_2/\text{ZSM-5}$ در درصدهای مختلف $\text{SiO}_2/\text{Al}_2\text{O}_3$ بررسی کردند. نتایج نشان داد که ۹۳/۹۷ درصد از سیانید پس از ۳ ساعت جذب و ۴ ساعت تابش حذف می‌شود [27]. Badvi و Javanbakht در سال ۲۰۲۱ حذف فاضلاب رنگی را با استفاده از نانو فتوکاتالیست $\text{ZSM-5}/\text{TiO}_2$ که با درصدهای مختلف نیکل اصلاح شده بود بررسی کردند. بالاترین راندمان حذف در ۰/۵ درصد نیکل و دمای کلسینه کردن ۶۰۰ درجه سلسیوس به مقدار ۹۹/۸ درصد گزارش شد [28].

بنا بر مطالعات صورت گرفته و برای رفع نقاط ضعف TiO_2 به عنوان یک ماده صنعتی مرسوم در فرایندهای فتوکاتالیستی، در این تحقیق برای اولین بار نانوفتوکاتالیست $\text{Fe-ZSM-5}@/\text{TiO}_2/\text{Ag}$ با کارایی بالا برای حذف آلاینده‌های آلی فاضلاب نفتی سنتز شد. نشان دادن Fe بر ساختار فتوکاتالیست باعث استفاده از خاصیت مغناطیسی و اصلاح ژئولیت خواهد شد و دوپ کردن نقره با نانوذرات دی‌اکسیدتیتانیم باعث کاهش شکاف انرژی و در نتیجه ارتقای قابلیت فتوکاتالیست سنتزی نسبت به نمونه‌های مشابه خواهد شد. خصوصیات ساختاری فتوکاتالیست با آنالیزهای مختلف XRD، SEM، FTIR و BET ارزیابی و حذف آلاینده‌های آلی در شرایط مختلف با لامپ UV و نور خورشید بررسی و کارایی فتوکاتالیست در چندین بار راهبری ارزیابی شده است.

مواد روش‌ها

فاضلاب مورد استفاده در این تحقیق از یکی از پالایشگاه‌های نفت در غرب کشور بعد از مرحله روغن-گیری تهیه و به آزمایشگاه مهندسی محیط زیست دانشگاه خوارزمی به منظور تعیین پارامترهای TSS، TDS، VSS، COD، BOD، pH و تعیین مقدار کدورت منتقل شد.

سوسپانسیون درآید. برای تهیه ژل سنتزی ۰/۸۸ گرم سدیم هیدروکسید و ۱/۰۳ گرم سدیم آلومینات در ۸۶/۷۸ گرم آب دو بار تقطیر حل شد و سپس این محلول به وسیله هم‌زن مغناطیسی به یک محلول هم‌گن و کاملاً یکنواخت تبدیل شد. سپس درحالی‌که این محلول به کمک هم‌زن مغناطیسی هم زده می‌شد به آن ۱۱/۳ گرم سیلیسیلیک اسید به آرامی اضافه شد تا فرآورده ژل‌مانندی به دست آورده شود. این ژل به مدت یک ساعت در دستگاه شیکر با شرایط دمای ۲۵ درجه سلسیوس و سرعت ۲۰۰ rpm هم زده شد و ۵ گرم ژل دانه‌ای به آن اضافه شد و داخل دستگاه شیکر به مدت یک ساعت قرار گرفت. این ژل در اتوکلاو فولادی با جدار داخلی تفلون در دمای ۱۸۰ درجه سلسیوس به مدت ۴۰ ساعت قرار داده شد و در پایان با کمک دستگاه سانتریفیوژ جداسازی نانوزئولیت ZSM-5 از این ژل انجام گردید و رسوب به دست آمده چندین بار با آب دو بار تقطیر شستشو داده شد. بعد از شستشو، رسوب به مدت ۲۴ ساعت در دمای ۱۰۵ درجه سلسیوس در آن قرار داده شد تا خشک و کلسینه شود. آهن روی زئولیت ZSM-5 به روش تبادل یونی، تثبیت شد [۲۹]. ابتدا برای تهیه محلول $\text{FeSO}_4 \cdot 7\text{H}_2\text{O}$ یک مولار، ۳۰/۵ میلی گرم ماده $\text{FeSO}_4 \cdot 7\text{H}_2\text{O}$ وزن و در ارلن مایر ریخته شد و ۱۱۰ میلی لیتر آب مقطر به آن اضافه و حل شد. سپس برای تبدیل ZSM-5 به Fe-ZSM-5 مقدار ۳۰/۵ gr سولفات آهن داخل ارلن ریخته شد و با ۱۱۰ ml آب مخلوط شد تا محلول ۱ مولار آهن به دست آید. در ادامه در ارلن ۳۵ گرم زئولیت ZSM-5 ریخته شد و با اسپاتول هم‌زده و با هم مخلوط شد. سپس محلول در محل تاریک به مدت ۲۴ ساعت قرار گرفت تا مواد تثبیت شوند. رسوب به دست آمده چندین بار با آب دو بار تقطیر شستشو داده شد و در آن با دمای ۱۱۰ درجه سلسیوس به مدت ۳ ساعت گذاشته شد تا خشک شود، سپس Fe-ZSM-5 زرد رنگ آماده گردید.

تیتانیا روی زئولیت Fe-ZSM-5 به روش هم‌رسوبی

(فیلیپس هلند) با توان‌های ۱۸ و ۳۶ وات، شدت تابش $5/33$ و $12/2 \text{ mW/cm}^2$ و طول موج در محدوده ۳۵۰ تا ۴۰۰ نانومتر (پیک ۳۷۰ نانومتر) به طول لامپ ۵۸/۹۸ سانتی‌متر و قطر ۲۸ میلی‌متر استفاده گردید. به منظور توزیع یکنواخت فتوکاتالیست و مواد فاضلاب، فتوراکتور بر روی یک هم‌زن مغناطیسی قرار گرفت.



شکل ۱ تصویر شماتیک فتوراکتور استفاده شده در تحقیق

تهیه نانوفتوکاتالیست $\text{Fe-ZSM-5@TiO}_2/\text{Ag}$

برای تهیه نانوفتوکاتالیست به ترتیب ژل دانه‌ای، ZSM-5 مستخرج از ژل سنتزی، Fe-ZSM-5 و در نهایت با پوشش دادن تیتانیا و نقره محصول نهایی نانوفتوکاتالیست $\text{Fe-ZSM-5@TiO}_2/\text{Ag}$ تولید شد. برای تهیه ژل دانه‌ای ۰/۱۳۸ گرم سدیم هیدروکسید و ۱/۱۷ گرم تتراپروپیل-آمونیم هیدروکسید در ۷/۱۰۳ گرم آب دو بار تقطیر حل شد و سپس این محلول به وسیله هم‌زن مغناطیسی به یک محلول هم‌گن و کاملاً یکنواخت تبدیل شد. سپس درحالی‌که این محلول به کمک هم‌زن مغناطیسی هم زده می‌شد به این محلول ۱/۵۸۹ گرم سیلیسیلیک اسید به آرامی اضافه شد تا فرآورده ژل‌مانندی به دست آید. این ژل به مدت یک ساعت در دستگاه شیکر با شرایط دمای ۲۵ درجه سلسیوس و سرعت ۲۰۰ rpm هم زده شد. سپس این محلول به مدت ۱۶ ساعت در دمای ۱۰۰ درجه سلسیوس در آن قرار گرفت تا در پایان به صورت یک

صورت گرفت. مزیت روش طراحی آزمایش به حداقل رساندن تعداد آزمایش‌ها و بررسی اثرات پارامترهای مختلف بر میزان حذف به‌طور هم‌زمان بود. طراحی براساس طرح مرکب مرکزی به‌عنوان زیرمجموعه روش پاسخ سطحی در تحقیق استفاده شد. متغیرهای مورد نظر شامل مقدار غلظت فتوکاتالیست، pH، شدت تابش UV و زمان تابش پرتو UV بود. با استفاده از طراحی انجام‌شده اثر ترکیبی هر چهار متغیر به‌طور هم‌زمان بر درصد حذف ترکیبات آلی (پاسخ مدل) مورد بررسی و مدل‌سازی قرار گرفت. در این تحقیق مقادیر بهینه متغیرهای مستقل در معادلات رگرسیون برای تعیین مقادیر مطلوب متغیرهای وابسته استفاده شدند. هر متغیر مستقل در پنج سطح کدبندی و سطح متغیرهای مستقل در واحدهای کدبندی‌شده براساس تحقیقات گذشته بر روی روش پاسخ سطحی مطابق جدول (۲) انتخاب شدند. بهینه‌سازی با هدف تنظیم هم‌زمان تمام عوامل دخیل در راندمان فرایند برای رسیدن به بهترین پاسخ ممکن و راهبردی سیستم در آن شرایط انجام شد. در این تحقیق، تنها پاسخ مورد نظر راندمان حذف COD در نظر گرفته شد و از این‌رو هدف بیشینه‌سازی پاسخ یعنی بیشترین میزان راندمان حذف COD انتخاب گردید.

تثبیت داده شد. ابتدا ۳۶ گرم Fe-ZSM-5 داخل بشر ۲۵۰ میلی‌لیتری ریخته شد و مقدار ۳۳ میلی‌لیتر آب مقطر به آن اضافه گردید و به مدت ۱۰ دقیقه هم زده شد و بعد مقدار ۳/۶ گرم تیتانیم‌دی‌اکسید به آن اضافه شد و به مدت ۱۰ دقیقه داخل دستگاه التراسونیک قرار داده شد تا کامل با هم مخلوط شوند. محلول برای خشک شدن به مدت ۳ ساعت داخل آون با دمای ۱۵۰ درجه سلسیوس قرار داده شد. به‌منظور تثبیت نقره ابتدا فتوکاتالیست Fe-ZSM-5@TiO₂ در بشر ۲۵۰ میلی‌لیتری ریخته شد و مقدار ۲۰ میلی‌لیتر آب مقطر به آن اضافه گردید و هم زده شد تا حل شود. سپس مقدار ۲/۵ گرم نترات نقره به محلول اضافه شد و روی هم‌زن برقی قرار داده شد تا مدت ۲۴ ساعت هم زده شود. بعد از آن‌که محلول مذکور آماده شد، به مدت ۳ ساعت زیر تابش مستقیم نور UV (۳۰ وات، UV-C) قرار داده شد و در ادامه به مدت ۳ ساعت در آون با دمای ۱۵۰ درجه سلسیوس قرار داده شد تا خشک شود و سپس با آسیاب بالمیل آزمایشگاهی مواد مذکور آسیاب شدند.

طراحی آزمایش و بهینه‌سازی فرایند

رویه حذف ترکیبات آلی از فاضلاب پالایشگاه نفت با نرم‌افزار طراحی آزمایش‌ها و به‌روش پاسخ سطحی

جدول ۲ محدوده آزمایش‌ها و سطوح متغیر

متغیر	واحد	کد متغیر	سطوح				
			+	۰	-	۱	۲
زمان تابش	دقیقه	X ₁	۳۰۰	۲۴۰	۱۸۰	۱۲۰	۶۰
pH	-	X ₂	۱۱	۹	۷	۵	۳
غلظت نانوکاتالیست	g/L	X ₃	۵	۴	۳	۲	۱
شدت تابش	وات	X ₄	۵۴		۳۶		

روش انجام آزمایش‌ها

حجم هر یک از راکتورهای مورد استفاده در تحقیق ۰/۳ لیتر بود و مقدار فتوکاتالیست، pH، شدت تابش و زمان تابش پرتو UV در هر آزمایش براساس طراحی آزمایش-ها برای تصفیه فاضلاب پالایشگاه نفت تنظیم شد. در طول همه آزمایش‌های انجام شده نمونه‌های ورودی و خروجی سیستم در ویال‌های شیشه‌ای حاوی ۵ml نمونه نگهداری شدند و پس از گذشت یک ساعت بعد از ته‌نشینی فتوکاتالیست و انجام سانتریفوژ، آنالیز شدند. در فاصله کوتاه قبل از انجام آنالیز نیز برای جلوگیری از تغییر در ترکیب نمونه‌ها آن‌ها را در یخچال با دمای ۴ درجه سلسیوس نگهداری کردند. محلول بالای فتوکاتالیست ته‌نشین شده برای آنالیز و بررسی عملکرد تصفیه فاضلاب استفاده شد. کلیه آزمایش‌های فوق در دمای اتاق انجام گرفت. کارایی فتوکاتالیست Fe-ZSM-5@TiO₂/Ag با توجه به پارامترهای ذکر شده تحت نور UV بهینه‌سازی شد و میزان درصد حذف به دست آمد. سپس فتوکاتالیست‌های Fe-ZSM-5@TiO₂/Ag و Fe-ZSM-5@TiO₂ در حالت بهینه تعیین شده تحت نور UV بررسی و مقایسه شدند. در نهایت این فتوکاتالیست‌ها در شرایط بهینه تحت نور خورشید نیز به منظور حذف مواد آلی مورد بررسی قرار گرفتند. از فتوکاتالیست Fe-ZSM-5@TiO₂-Ag در شرایط بهینه پنج بار استفاده مجدد شد تا کارایی مجدد استفاده از فتوکاتالیست به دست آید. تعیین ترکیبات میانی آلی موجود در فاضلاب بعد از تخریب فتوکاتالیستی در شرایط بهینه، براساس کروماتوگرافی گازی- طیف‌سنج جرمی (GC-MS) انجام شد.

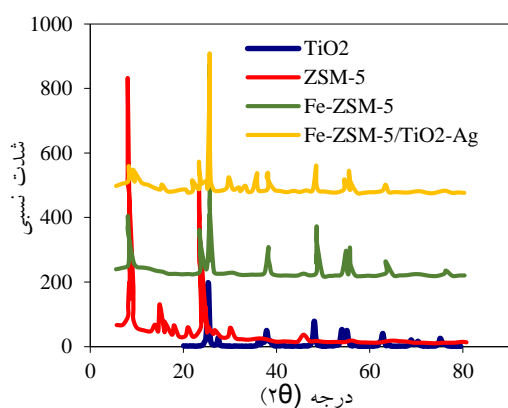
نتایج و بحث

تعیین مشخصات نانوفتوکاتالیست

نانوفتوکاتالیست تولیدی به وسیله آنالیزهای مختلف XRD، SEM، FTIR و BET به منظور مشخص نمودن ساختار، مساحت سطحی ویژه و اندازه حفره‌ها و

همچنین تجزیه کمی، تعیین مقدار و درصد وزنی ترکیبات و تعیین فاصله سطح انرژی فتوکاتالیست سنتزی، بررسی شد.

به منظور حصول اطمینان از تشکیل فاز نانوزئولیت و تشخیص نانوپودرهای سنتز شده از پراش اشعه ایکس (XRD) استفاده شد. در شکل (۲) منحنی‌های XRD سه نمونه Fe-ZSM-5، Fe-ZSM-5@TiO₂ و Fe-ZSM-5@TiO₂/Ag با هم مقایسه شده است که نشان می‌دهد ترکیبات تولید شده از خلوص بالایی برخوردار می‌باشند. موقعیت پیک‌های مشخصه زئولیت در حدود ۸/۹۰ و ۸/۰۱ قرار دارند که مقایسه آن با الگوی نمونه استاندارد، بیانگر آن است که فاز زئولیتی Fe-ZSM-5 با خلوص بالا و بدون تداخل فازی سنتز شده است. با توجه به سنتز Fe-ZSM-5@TiO₂ موقعیت پیک مشخصه فاز آناتاز TiO₂ در حدود ۲۵/۳۷ درجه می‌باشد، که این پیک نشان‌دهنده سنتز کریستال‌های تیتانیم‌دی‌اکسید در ساختار زئولیت و تولید نانوفتوکاتالیست Fe-ZSM-5@TiO₂ می‌باشد. الگوی XRD نمونه Fe-ZSM-5@TiO₂/Ag دارای پیک‌هایی در زاویه‌های ۳۳ و ۳۷ درجه است که بیانگر وجود نقره در فتوکاتالیست است. هم‌چنین مقایسه آن با الگوی استاندارد، نشان‌دهنده عدم تداخل فازی و سنتز مناسب این فتوکاتالیست است.

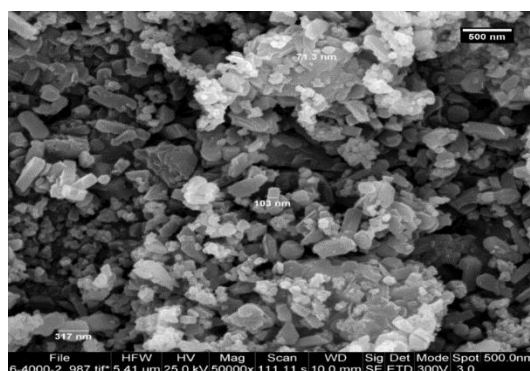


شکل ۲ منحنی‌های XRD سه نمونه ZSM-5 و Fe-ZSM-5@TiO₂ و Fe-ZSM-5@TiO₂/Ag

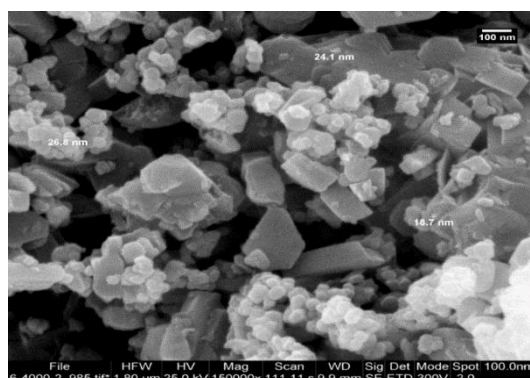
زئولیت و فتوکاتالیست سنتز شده استفاده شد (شکل ۴). تکنیک طیف‌سنجی مادون قرمز تبدیل فوریه برای شناسایی نوع پیوندهای موجود در یک ترکیب به کار می‌رود، که هر نوع گروه پیوندی خاص طول موج خاصی از موج IR را جذب می‌کنند. پیک‌های جذبی که به طول موج‌های خاص تعلق دارند، نشان‌دهنده پیوندهای حاضر در نمونه‌های مورد نظر هستند. پیک ارتعاشی در $547/42$ حضور حلقه پنج‌تایی ساختار زئولیت ZSM-5 را تأیید می‌کند، همچنین پیک مربوط به $Al-H_3O_3$ در $\frac{1}{cm}$ $3611/06$ می‌باشد. در آنالیز آزمایش FT-IR بر روی نانوفتوکاتالیست سنتزی $Fe-ZSM-5@TiO_2/Ag$ ، پیک اختصاصی Ti-O در ناحیه $\frac{1}{cm}$ 905 تا $\frac{1}{cm}$ 945 قرار دارد، همچنین بعد از نشان دادن Ag و TiO_2 در ساختار زئولیت شدت پیک $547/42$ کاهش بسیار محسوسی داشته‌است و این امر نشان‌دهنده آن است که مقدار قابل توجهی از پیوند O-H در ساختار TiO_2 تخریب شده و Ag جایگزین آن شده‌است. پیک $1098/45$ را به $-Ti-O_3$ Ag حاصل از نتایج حاصل از تکنیک FT-IR فتوکاتالیست سنتزی ثابت می‌کند، فتوکاتالیست سنتز شده تنها مخلوطی ساده از ذرات TiO_2 و نقره نیست، بلکه با تشکیل پیوند بین فاز آناز TiO_2 با Ag، فتوکاتالیست سنتزی یک نانوکامپوزیت می‌باشد. بعد از نشان دادن TiO_2 در ساختار زئولیت پیک در موقعیت $\frac{1}{cm}$ 3500 کاهش یافت و این امر نشان از تخریب پیوند-های سیلانولی در زئولیت و جایگزینی با دی‌اکسید تیتانیم است. نتایج حاصل از تکنیک طیف‌سنجی مادون قرمز تبدیل فوریه فتوکاتالیست نانوسنتزی ثابت می‌کند، فتوکاتالیست سنتز شده تنها مخلوطی ساده از ذرات TiO_2 و Ag و زئولیت نیست، بلکه یک فتوکاتالیست سنتزی نانوکامپوزیت می‌باشد.

با استفاده از آنالیز BET مشخصات و جزئیات فضای متخلخل زئولیت بررسی شد. با توجه به اطلاعات حاصل از آنالیز BET، سطح ویژه ذرات برابر با $33/768 m^2g^{-1}$ به دست آمد. با توجه به سطح ویژه مناسب می‌توان انتظار

از میکروسکوپ الکترونی روبشی در بزرگ‌نمایی-های مختلف برای بررسی شکل و ساختار پودرها و تخمین اندازه ذرات استفاده شد. با توجه به تصاویر به دست آمده از آزمایش SEM برای فتوکاتالیست سنتزی که در شکل (۳-الف) ارائه شده‌است مشخص است که ذرات TiO_2 به‌طور یکنواخت در سطح زئولیت پراکنده شده‌اند و ساختار زئولیت تغییر نکرده‌است. همان‌طور که در شکل (۳-ب) نشان داده شده‌است، ذرات نانوقره در حدود ۱۸ نانومتر و ذرات TiO_2 در حدود ۲۵ نانومتر هستند که روی بستر زئولیت به‌صورت یکنواخت پراکنده شده‌است.



(الف)



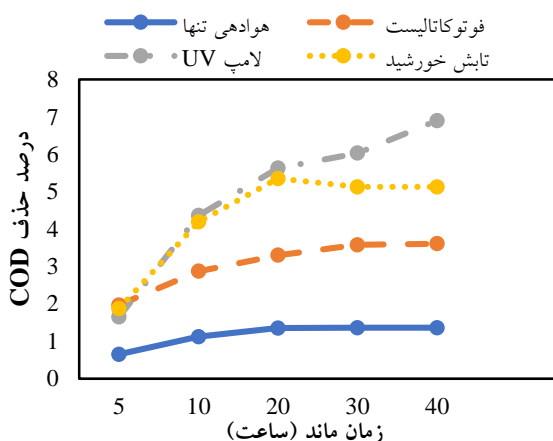
(ب)

شکل ۳ تصاویر SEM از نمونه $Fe-ZSM-5@TiO_2-Ag$ (الف)

قدرت تفکیک $1 \mu m$ (ب) قدرت تفکیک ۵۰۰ nm

از طیف‌سنج مادون قرمز تبدیل فوریه (FTIR) برای بررسی ساختار، ترکیبات و حصول اطمینان از نوع

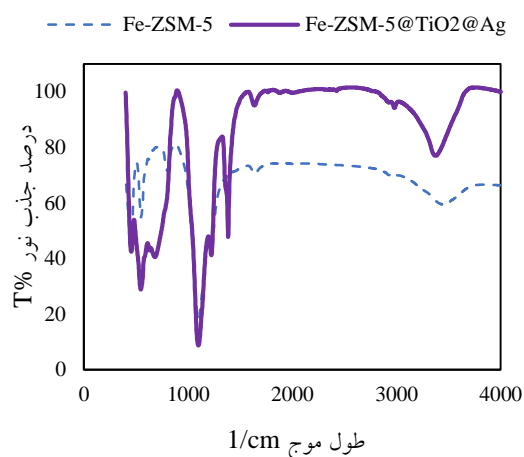
فتوکاتالیست Fe-ZSM-5@TiO₂/Ag بدون حضور لامپ UV و تابش نور خورشید تنها مورد بررسی قرار گرفت تا میزان جذب و فراریت ترکیبات آلی فاضلاب تعیین شود. نتایج مربوط به این شرایط راه‌اندازی در شکل (۵) ارائه شده‌است.



شکل ۵ نتایج آزمایش‌های شاهد

اولین راه‌اندازی سیستم با فتوکاتالیست تنها در تاریکی برای تعیین میزان جذب هیدروکربن‌های نفتی انجام گرفت و در طول ۴۸ ساعت راه‌اندازی سیستم بیشترین راندمان حذف حدود ۳/۶۱ درصد به دست آمد. این میزان جذب به‌طور عمده مربوط به فتوکاتالیست و احتمالاً مقدار کمی مربوط به جداره‌های شیشه بود. از طرفی چون فتوکاتالیست به‌عنوان یک جاذب آلی شناخته نمی‌گردد می‌توان گفت که جذب تأثیر چندانی بر راندمان نداشته‌است. در مرحله بعد هوادهی به‌تنهایی مورد بررسی قرار گرفت که میزان تأثیر بر فراریت مواد آلی را نشان می‌دهد، که بیشترین راندمان حذف بعد از مدت ۳۰ ساعت در حدود ۱/۳۶ درصد تعیین شد. فتوراکتور تحت تابش مستقیم آفتاب به مدت ۴ روز و هرروز به مدت ۱۰ ساعت از ساعت ۸-۱۸ در اردیبهشت ماه قرار گرفت که نشان می‌دهد بیشترین حذف مواد آلی بعد از ۳۰ ساعت می‌باشد که در حدود ۵/۱۳ درصد حاصل شد. هم‌چنین فتوراکتور تحت تابش لامپ UVA قرار گرفت و بیشترین

واکنش مناسب در بستر را داشت. مشخصات انجام آزمایش BET در جدول (۲) ارائه شده‌است.



شکل ۴ مقایسه طیف مادون قرمز نمونه Fe-ZSM-5 و Fe-ZSM-5@TiO₂/Ag

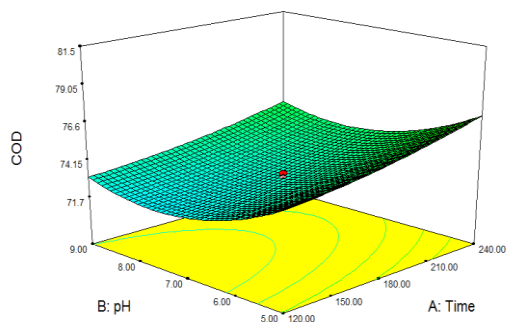
جدول ۲ نتایج آنالیز BET برای نمونه Fe-ZSM-5 و Fe-ZSM-5@TiO₂/Ag

پارامتر	Fe-ZSM-5	Fe-ZSM-5@TiO ₂ /Ag
فضای خالی (cm ³ /g)	۱.۱۲	۱.۰۶
سطح ویژه (m ² /g)	۳۲/۱۰	۳۳/۷۶۸
حجم کل منافذ (cm ³ /g)	۰.۰۲۸	۰.۰۶۹
قطر متوسط منافذ (nm)	۲۲.۵۰۶	۴۰.۵۶۸

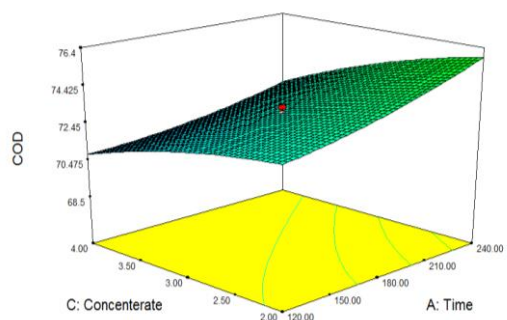
راه‌اندازی اولیه راکتور بدون اجزای فرایند فتوکاتالیستی

برای انجام فرایند فتوکاتالیستی وجود سه عامل اکساینده، فتوکاتالیست و نور با شدت مشخص مورد نیاز است. از این رو در اولین مرحله تحقیق تأثیر هر یک از این پارامترها به‌صورت مستقل و ترکیبی و بدون حضور هم‌زمان عوامل فرایند، به‌منظور تصفیه فاضلاب پالایشگاهی مورد بررسی قرار گرفت. برای این منظور تصفیه فاضلاب در شرایط حضور UV تنها، هوادهی تنها،

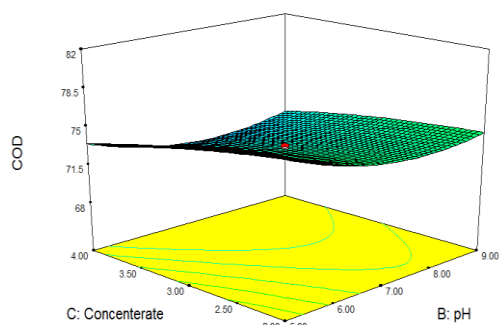
سطوح در نظر گرفته شده نشان داد که تأثیرگذارترین عوامل به ترتیب pH به میزان ۳۵ درصد، میزان غلظت فتوکاتالیست ۲۰ درصد و شدت تابش ۱۵ درصد بود.



(الف)



(ب)



(ج)

شکل ۶ نمودارهای رویه‌ای پاسخ‌ها بعد از تصفیه فتوکاتالیستی (الف) اثر متقابل زمان و pH بر درصد حذف ترکیبات آلی، (ب) اثر متقابل زمان و غلظت فتوکاتالیست بر درصد حذف ترکیبات آلی، (ج) اثر متقابل pH و غلظت فتوکاتالیست بر درصد حذف ترکیبات آلی

پایداری و قابلیت استفاده مجدد از فتوکاتالیست

یکی از شاخصه‌های مهم برای ساخت انواع نانوکامپوزیت‌ها، میزان کارایی نانوکامپوزیت در استفاده

فراربت مواد آلی در حدود ۶/۹ درصد بعد از گذشت ۴۰ ساعت به دست آمد.

اثر برهم کنش متغیرها در راندمان حذف

نتایج حاصل از تصفیه فاضلاب پالایشگاه نفت با استفاده از نانوفتوکاتالیست Fe-ZSM-5@TiO₂/Ag در شرایط مختلف در شکل (۶) نشان داده شده است. اثر متقابل زمان ماند و pH نشان می‌دهد که اثر pH مؤثرتر از زمان ماند واکنش در حذف مواد آلی از فاضلاب بوده است. اثر متقابل زمان ماند و غلظت فتوکاتالیست سنتزی نشان از م^۷تر بودن غلظت فتوکاتالیست می‌باشد. همچنین تأثیر دو متغیر غلظت نانوفتوکاتالیست سنتزی و pH به صورت هم‌زمان نشان از مؤثر بودن pH بوده است.

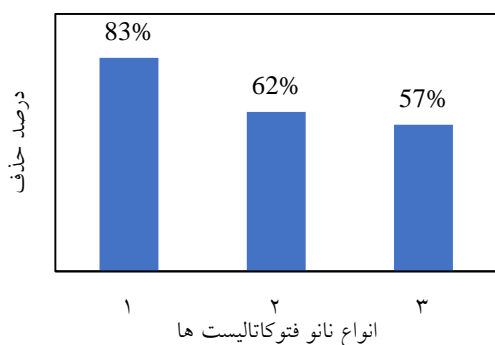
معادله نهایی برای حذف COD فاضلاب پالایشگاه نفت به روش فتوکاتالیست مطابق رابطه (۱) است که در این معادله مقادیر X₁ تا X₄ مشابه موارد تعریف شده در جدول (۲) می‌باشد.

$$\begin{aligned} \text{COD} = & +94.96 + 1.47 \times X_1 - 0.75 \times X_2 - \\ & 1.35 \times X_3 + 1.84 \times X_4 - 0.084 \times X_1 X_2 - \\ & 0.30 \times X_1 X_3 + 0.36 \times X_1 X_4 + \\ & 0.30 \times X_2 X_3 + 0.16 \times X_2 X_4 + \\ & 0.090 \times X_3 X_4 + 0.32 X_1^2 + 1.56 X_2^2 - \\ & 0.35 X_3^2 \end{aligned} \quad (1)$$

نتایج نشان داد که مقادیر بهینه شرایط بهره‌برداری برای رسیدن به بالاترین راندمان حذف شامل pH برابر ۵، غلظت نانوفتوکاتالیست معادل ۲ گرم در لیتر، مدت زمان تابش ۲۴۰ دقیقه و شدت تابش نیز ۵۴ وات می‌باشد.

به منظور تعیین تأثیر هر یک از پارامترها در راندمان سیستم، تحلیل واریانس انجام شد. هدف از این تحلیل به دست آوردن نسبت واریانس هر فاکتور نسبت به واریانس کل می‌باشد. درصد تأثیر عوامل مختلف بر حذف COD فاضلاب در فرایند فتوکاتالیستی در محدوده

مقایسه با فتوکاتالیست‌های TiO_2 -Ag و TiO_2 در شرایط بهینه (زمان ماند ۲۴۰ دقیقه، غلظت فتوکاتالیست ۲ گرم در لیتر، شدت تابش ۵۴ وات و $\text{pH}=5$) انجام گرفت که نتایج آن در شکل (۸) ارائه شده است. نتایج نشان داد که فتوکاتالیست $\text{Fe-ZSM-5@TiO}_2/\text{Ag}$ بیشترین درصد حذف را در حدود ۸۳ درصد داشته است. همچنین درصد حذف TiO_2 -Ag و TiO_2 به ترتیب برابر ۶۲ درصد و ۵۷ درصد به دست آمد. نتایج نشان داد که اولاً اضافه کردن ZSM-5 به ساختار فتوکاتالیست تأثیر به‌سزایی بر ارتقای عملکرد فرایند فتوکاتالیستی خواهد داشت. ثانیاً دوپ کردن فلز نقره در ساختار تیتانیم‌دی‌اکسید و نشان دادن فتوکاتالیست روی پایه زئولیتی که به‌عنوان تله برای الکترون و ایجاد حفره در تیتانیم‌دی‌اکسید است، باعث افزایش عملکرد نوری فتوکاتالیست شده است.



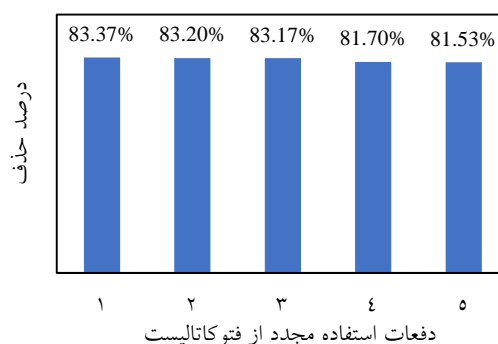
شکل ۸ مقایسه انواع فتوکاتالیست‌ها (۱) $\text{Fe-ZSM-5@TiO}_2\text{-Ag}$ (۲) $\text{TiO}_2\text{-Ag}$ (۳) TiO_2

مقایسه فعالیت فتوکاتالیست‌ها تحت تابش نور

خورشید

به‌منظور بررسی توانایی حذف فتوکاتالیستی ترکیبات آلی فاضلاب پالایشگاهی تحت نور خورشید، آزمایشی با شرایط فرایندی بهینه (زمان ماند ۲۴۰ دقیقه، غلظت فتوکاتالیست ۲ گرم در لیتر و $\text{pH}=5$) تحت نور خورشید در اردیبهشت‌ماه بین ساعت ۹-۱۷ انجام شد. برای استفاده از خاصیت تصفیه به‌کمک نور خورشید، راکتور

مجدد می‌باشد. قابلیت استفاده مجدد از نانوفتوکاتالیست سنتزی $\text{Fe-ZSM-5@TiO}_2/\text{Ag}$ برای تخریب آلاینده آلی فاضلاب پالایشگاه نفت تحت شرایط بهینه (زمان ماند ۲۴۰ دقیقه، غلظت فتوکاتالیست ۲ گرم در لیتر، شدت تابش ۵۴ وات و $\text{pH}=5$) مورد آزمایش قرار گرفت. همان‌طور که در شکل (۷) نشان داده شده است بعد از پنج بار استفاده از فتوکاتالیست کاهش چشم‌گیری در راندمان حذف مشاهده نشد. در این تحقیق پس از یک‌بار استفاده از فتوکاتالیست و حذف مواد آلی، فتوکاتالیست جداسازی شد و برای مرحله بعد مورد استفاده قرار گرفت. با توجه به عدم کاهش راندمان حذف در استفاده‌های مجدد از نانو فتوکاتالیست، این نتیجه حاصل می‌شود که جداسازی نانوذرات از فاضلاب تصفیه‌شده به‌خوبی صورت گرفته و جرم فتوکاتالیست در محلول کاهش نیافته است. از طرف دیگر میزان باقی ماندن آلاینده بر سطح فتوکاتالیست نیز ناچیز بوده است. در سایر تحقیقات نیز Badvi و Jahanbakht با احیای مجدد فتوکاتالیست تغییرات جزئی در راندمان حذف را گزارش کردند و نشان دادند که ساختار فتوکاتالیست بعد از احیا و استفاده مجدد تغییر چندانی ندارد [28].

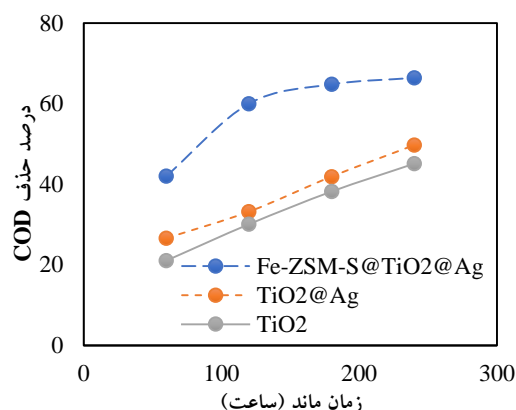


شکل ۷ در شرایط بهینه $\text{Fe-ZSM-5@TiO}_2/\text{Ag}$ قابلیت استفاده مجدد از فتوکاتالیست

مقایسه فعالیت فتوکاتالیست‌ها تحت تابش لامپ

UV

آزمایش‌هایی به‌منظور فعالیت فتوکاتالیستی $\text{Fe-ZSM-5@TiO}_2/\text{Ag}$ برای حذف COD پساب پالایشگاه نفت و



شکل ۹ مقایسه فعالیت فتوکاتالیستی Fe-ZSM-5@TiO₂/Ag با TiO₂-Ag و TiO₂ تحت تابش خورشید

بررسی ترکیبات میانی حین تصفیه فتوکاتالیستی

به منظور شناسایی ترکیبات میانی آلی در حین انجام فرایند فتوکاتالیستی فاضلاب پالایشگاه نفت از آزمایش GC-Mass استفاده شد. نتایج بیانگر آن است که راکتور فتوکاتالیستی توانایی حذف پیک‌های محسوسی از ترکیبات ساختار را داراست. به عبارتی حذف بخش از ترکیبات آروماتیک صورت گرفته ولی به دلیل تنوع ترکیبات موجود در فاضلاب‌های نفتی، حذف اسیدهای چرب و ترکیبات آلیفاتیک را که در ساختار فاضلاب است، به دلیل ساختار قوی و پیچیده‌تر، نداشته‌است. در این راستا مطابق نتایج به دست آمده از عمده ترکیبات تولید شده در حین فرایند، ترکیبات اولیک اسید (C₁₈H₃₄O₂)، هپتادین (C₁₁H₂₂O₂)، اتانول (C₂H₆O)، استیک اسید (C₂H₄O₂)، اتیل بنزن (C₈H₁₀) و بنزن (C₆H₆) می‌باشد.

نتیجه گیری

در این تحقیق نانوفتوکاتالیست جدید Fe-ZSM-5@TiO₂/Ag برای حذف آلاینده‌های آلی فاضلاب نفتی مورد استفاده قرار گرفت. نتایج آزمایش SEM پوشش نسبتاً یکنواخت نانوذرات بر سطح زئولیت را نشان داد و با آنالیز BET نانوذره بودن فتوکاتالیست ثابت شد.

در محوطه باز دانشگاه خوارزمی در مرکز شهر تهران و با ارتفاع ۱۸۰۰ m از سطح دریا مستقر شد. شدت تابش متوسط در یک روز بهاری به میزان متوسط ۱۸/۲۶ w/m² تعیین شد. برای نرمال کردن تغییرات شدت تابش در طول زمان راه‌اندازی فتوراکتور از زمان تابش معادل استفاده گردید. باتوجه به این‌که مقدار تابش در بیرون درون راکتور در حالت استفاده از نور خورشید، به واسطه وجود پوشش شیشه‌ای در راکتور متفاوت بود بنابراین میزان درصد عبوری نور مطابق رابطه (۲) تعیین گردید.

$$T = \frac{I_s}{I_t} \quad (2)$$

که در این روابط I_s و I_t به ترتیب شدت تابش

اندازه‌گیری شده داخل و بیرون فتوراکتور است. T متوسط ضریب عبور نور از پوشش راکتور است که مقدار آن برای نور UV-A و مرئی خورشید، طی راه‌اندازی یک روزه سیستم در بهار از ساعت ۹ صبح تا ۵ بعدازظهر به مدت ۸ ساعت به طور متوسط معادل ۵ ساعت تابش لامپ UV با شدت تابش ثابت ۳۰ w/m² بود. در شکل (۹) مقایسه بین فعالیت فتوکاتالیستی Fe-ZSM-5@TiO₂/Ag با TiO₂-Ag و TiO₂ تحت تابش خورشید انجام شد. نتایج نشان داد که فتوکاتالیست Fe-ZSM-5@TiO₂/Ag بیشترین درصد حذف در حدود ۶۷/۴ درصد را داراست، هم‌چنین درصد حذف TiO₂-Ag و TiO₂ به ترتیب برابر ۴۹/۷ درصد و ۴۵/۱ درصد است. نتایج تحقیقات Delnavaz و همکاران در سال ۲۰۱۵ نیز نشان داد در شرایطی که از TiO₂ به عنوان فتوکاتالیست استفاده شود راندمان حذف در شرایط نور طبیعی خورشید در مقایسه با لامپ‌های UVC و UVA به ترتیب به میزان ۷۰ و ۵۰ درصد کاهش می‌یابد [30]. باتوجه به اصلاحاتی که در تحقیق حاضر در نوع فتوکاتالیست با دوپ کردن نانوذرات صورت گرفته‌است مشاهده می‌شود که اختلاف در راندمان حذف در شرایط استفاده از لامپ UV و یا نور خورشید به میزان حدود ۱۵ درصد کاهش یافته‌است که بسیار کمتر از شرایط TiO₂ خالص می‌باشد.

pH حدود پنج راندمان حذف به بالاترین میزان خود رسید. غلظت فتوکاتالیست بین ۱ تا ۵ گرم در لیتر در این تحقیق مورد آزمایش قرار گرفت که مقدار بهینه ۲ گرم بر لیتر مشخص گردید. راندمان حذف سیستم در راکتور تحت تابش لامپ با Fe-ZSM-5@TiO₂/Ag در شرایط بهینه طی سه مرحله انجام شد که بالاترین حذف آن ۸۳ درصد بود. راندمان حذف سیستم در راکتور تحت تابش خورشید با Fe-ZSM-5@TiO₂/Ag در شرایط بهینه طی سه مرحله انجام شد که بالاترین حذف آن ۶۶/۴ درصد بود. با تکرار آزمایش‌ها به تعداد پنج مرتبه در حالت بهینه، کاهش راندمان چشم‌گیر نبود، که حاکی از پایداری نانوفتوکاتالیست سنتزی است.

به منظور حصول اطمینان از سنتز تیتانیوم‌دی‌اکسید و نقره روی زئولیت و نداشتن تداخل فازی باهم از آنالیز XRD استفاده شد و نتایج با الگوی استاندارد مقایسه شد. برای شناسایی ساختار فتوکاتالیست و پیوندهای موجود در آن از آنالیز FT-IR استفاده شد که نشان از سنتز نانوفتوکاتالیست با پیوندهای شیمیایی داشت. نتایج اولیه راه‌اندازی فتوراکتور نشان داد زمانی که هر سه عامل اصلی فرایند فتوکاتالیستی به‌طور هم‌زمان نباشند، راندمان حذف بسیار پائین است. هم‌چنین میزان جذب آلاینده با نانوفتوکاتالیست سنتزی و فرایند عریان‌سازی به‌وسیلهٔ هوادهی تأثیر ناچیزی بر راندمان داشت. بررسی تأثیر pH در راندمان سیستم در محدودهٔ ۳ تا ۱۱ نشان داد که در

مراجع

1. Diya'uddeen, B. H., Daud, W. M. A.W. and Abdul Aziz, A. R., "Treatment Technologies for Petroleum Refinery Effluents: A Review", *Process Safety and Environmental Protection*, Vol. 2, pp. 95-105, (2011).
2. Wake, H., "Oil Refineries: A Review of their Ecological Impacts on the Aquatic Environment", *Estuarine, Coastal and Shelf Science*, Vol. 1, pp. 131-140, (2005).
3. Saien, J. and Shahrezaei, F., "Organic Pollutants Removal from Petroleum Refinery Wastewater with Nanotitania Photocatalyst and UV Light Emission", *International Journal of Photoenergy*, Vol. (2012), pp. 703074, (2012).
4. Demirci, Ş., Erdoğan, B. and Özcimder, R., "Wastewater Treatment at the Petroleum Refinery, Kırıkkale, Turkey using some coagulants and Turkish Clays as Coagulant Aids", *Water Research*, Vol. 11, pp. 3495-3499, (1998).
5. Abdelwahab, O., Amin, N. K. and El-Ashtouky, E. S. Z., "Electrochemical Removal of Phenol from Oil Refinery Wastewater", *Journal of Hazardous Materials*, Vol. 2, pp. 711-716, (2009).
6. Maleki, A., Mahvi, A. and Shahmoradi, B., "Hydroxyl Radical-Based Processes for Decolourization of Direct Blue 71: A Comparative Study", *Asian Journal of Chemistry*, Vol. 23, pp. 4411-4415, (2011).
7. Padmanabhan, P.V.A., Sreekumar, K.P., Thiyagarajan, T.K., Satpute, R.U., Bhanumurthy, K., Sengupta, P., Dey, G. K. and Warriar, K. G. K., "Nano-crystalline Titanium Dioxide Formed by Reactive Plasma Synthesis", *Vacuum*, Vol. 11, pp. 1252-1255, (2006).
8. Alaton, I. A., Balcioglu, I. A. and Bahnemann, D. W., "Advanced Oxidation of a Reactive Dye bath Effluent: Comparison of O₃, H₂O₂/UV-C and TiO₂/UV-A Processes", *Water Research*, Vol. 5, pp.

- 1143-1154, (2002).
9. Martin, C., Martin, I., Rives, V., Solana, G., Loddo, V., Palmisano, L. and Sclafani, A., "Physicochemical Characterization of WO_3/ZrO_2 and $\text{WO}_3/\text{Nb}_2\text{O}_5$ Catalysts and their Photoactivity for 4-nitrophenol Photooxidation in Aqueous Dispersion", *Journal of Materials Science*, Vol. 22, pp. 6039-6047, (1997).
 10. Furube, A., Asahi, T., Masuhara, H., Yamashita, H and Anpo, M., "Charge Carrier Dynamics of Standard TiO_2 Catalysts Revealed by Femtosecond Diffuse Reflectance Spectroscopy", *The Journal of Physical Chemistry B*, Vol. 16, pp. 3120-3127, (1999).
 11. Malato, S., Fernández-Ibáñez, P., Maldonado, M.I., Blanco, J. and Gernjak, W., "Decontamination and Disinfection of Water by Solar Photocatalysis: Recent Overview and Trends", *Catalysis Today*, Vol. 1, pp. 1-59, (2009).
 12. Kwon, C. H., Shin, H., Kim, J. H., Choi, W. S. and Yoon, K. H., "Degradation of Methylene Blue Via Photocatalysis of Titanium Dioxide", *Materials Chemistry and Physics*, Vol. 1, pp. 78-82, (2004).
 13. Poullos, I. and Tsachpinis, I., "Photodegradation of the Textile Dye Reactive Black 5 in the Presence of Semiconducting Oxides", *Journal of Chemical Technology & Biotechnology*, Vol. 4, pp. 349-357, (1999).
 14. Noorjahan, M., Durga Kumari, V., Subrahmanyam, M. and Boule, P., "A Novel and Efficient Photocatalyst: TiO_2 -HZSM-5 Composite Thin Film", *Applied Catalysis B: Environmental*, Vol. 3, pp. 209-213, (2004).
 15. Li, F., Sun, S., Jiang, Y., Xia, M., Sun, M. and Xue, B., "Photodegradation of an Azo Dye Using Immobilized Nanoparticles of TiO_2 Supported by Natural Porous Mineral", *Journal of Hazardous Materials*, Vol. 3, pp. 1037-1044, (2008).
 16. Durgakumari, V., Subrahmanyam, M., Subba, K., Ratnamala, A., Mohammed, N. and Tanaka, K., "An Easy and Efficient Use of TiO_2 Supported HZSM-5 and TiO_2 +HZSM-5 Zeolite Composite in the Photodegradation of Aqueous Phenol and P-chlorophenol* 1", *Applied Catalysis A: General*, Vol. 1-2, pp. 155-165, (2002).
 17. Vempati, R. K., Borade, R., Hegde, R. S. and Komarneni, S., "Template Free ZSM-5 from Siliceous Rice Hull Ash with Varying C Contents", *Microporous and Mesoporous Materials*, Vol. 1, pp. 134-140, (2006).
 18. Yan, G., Long, J., Wang, X., Li, Z. and Fu, X., "Photoactive Sites in Commercial HZSM-5 Zeolite with Iron Impurities: An UV Raman Study", *Comptes Rendus Chimie*, Vol. 1, pp. 114-119, (2008).
 19. Park, H., Park, Y., Kim, W. and Choi, W., "Surface Modification of TiO_2 Photocatalyst for Environmental Applications", *Journal of Photochemistry and Photobiology C: Photochemistry Reviews*, Vol. 15, pp. 1-20, (2013).

20. Seery, M. K., George, R., Floris, P. and Pillai, S. C., "Silver Doped Titanium Dioxide Nanomaterials for Enhanced Visible Light Photocatalysis", *Journal of Photochemistry and Photobiology A: Chemistry*, Vol. 2, pp. 258-263, (2007).
21. Fujishima, A., Zhang, X. and Tryk, D.A., "TiO₂ Photocatalysis and Related Surface Phenomena", *Surface Science Reports*, Vol. 12, pp. 515-582, (2008).
22. Rehman, S., Ullah, R., Butt, A.M. and Gohar, N.D., "Strategies of Making TiO₂ and ZnO Visible Light Active", *Journal of Hazardous Materials*, Vol. 2, pp. 560-569, (2009).
23. Santos, F., Azevedo, E., Jr, G. and Dezotti, M., "Photocatalysis as a Tertiary Treatment for Petroleum Refinery Wastewaters", *Brazilian Journal of Chemical Engineering*, Vol. 23, pp. 451-460, (2006).
24. Chang, C.-T., Wang, J.J., Ouyang, T., Zhang, Q. and Jing, Y.H., "Photocatalytic Degradation of Acetaminophen in Aqueous Solutions by TiO₂/ZSM-5 Zeolite with Low Energy Irradiation", *Materials Science and Engineering: B*, Vol. 196, pp. 53-60, (2015).
25. Zainudin, N. F., Abdullah, A. Z. and Mohamed, A., "Characteristics of Supported Nano-TiO₂/ZSM-5/silica Gel (SNTZS): Photocatalytic Degradation of Phenol", *Journal of hazardous materials*, Vol. 1, pp. 299-306, (2009).
26. Sobana, N., Subash, B. and Swaminathan, M., "Effect of Operational Parameters on Photodegradation of Direct Blue 53 by Silver Loaded-titania under Ultraviolet and Solar Illumination", *Materials Science in Semiconductor Processing*, Vol. 36, pp. 149-155, (2015).
27. Pan, Y., Zhang, Y., Huang, Y., Jia, Y., Chen, L. and Cui, H., "Synergistic Effect of Adsorptive Photocatalytic Oxidation and Degradation Mechanism of Cyanides and Cu/Zn Complexes over TiO₂/ZSM-5 in Real Wastewater", *Journal of Hazardous Materials*, Vol. 416, pp. 125802, (2021).
28. Badvi, K. and Javanbakht, V., "Enhanced Photocatalytic Degradation of Dye Contaminants with TiO₂ Immobilized on ZSM-5 Zeolite Modified with Nickel Nanoparticles", *Journal of Cleaner Production*, Vol. 280, pp. 124518, (2021).
29. Wang, C., Shi, H. and Li, Y., "Synthesis and Characteristics of Natural Zeolite Supported Fe³⁺-TiO₂ Photocatalysts", *Applied Surface Science*, Vol. 15, pp. 6873-6877, (2011).
30. Delnavaz, M., Ayati, B., Ganjidoust, H. and Sanjabi, S., "Application of Concrete Surfaces as Novel Substrate for Immobilization of TiO₂ Nano Powder in Photocatalytic Treatment of Phenolic Water", *Journal of environmental health science & engineering*, Vol. 13, pp. 58, (2015).

31.